

## Лекция 2

Межмолекулярные  
взаимодействия.  
Структура простых  
кристаллических веществ.

# План лекции

1. Классификация ван-дер-ваальсовых сил.
2. Водородная связь.
3. Классификация кристаллических тел.
4. Плотнейшие и плотные шаровые упаковки.
5. Структуры металлов.
6. Полиморфизм металлов.
7. Энергетические зоны в кристаллах.

# Ван-дер-ваальсовы межмолекулярные взаимодействия

- 1) Ориентационное – между **полярными** молекулами (диполь-диполь)
- 2) Индукционное – между **полярной и неполярной** молекулами (постоянный диполь – наведенный диполь)
- 3) Дисперсионное – между **неполярными** молекулами (наведенный диполь – наведенный диполь)

Взаимодействие тем сильнее, чем больше:  
1) полярность; 2) поляризуемость молекул.

Пример:  $\text{CH}_4$  – газ,  $\text{C}_6\text{H}_6$  – жидкость

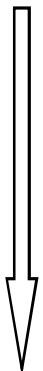
$$E_{\text{ков.}}(\text{Cl}-\text{Cl}) = 244 \text{ кДж/моль}$$

$$E_{\text{вдв.}}(\text{Cl}_2-\text{Cl}_2) = 25 \text{ кДж/моль}$$

# Дисперсионное взаимодействие

$$\hat{V} = \frac{\mathbf{d}_1 \mathbf{d}_2 - 3(\mathbf{d}_1 \mathbf{n})(\mathbf{d}_2 \mathbf{n})}{r^3}$$

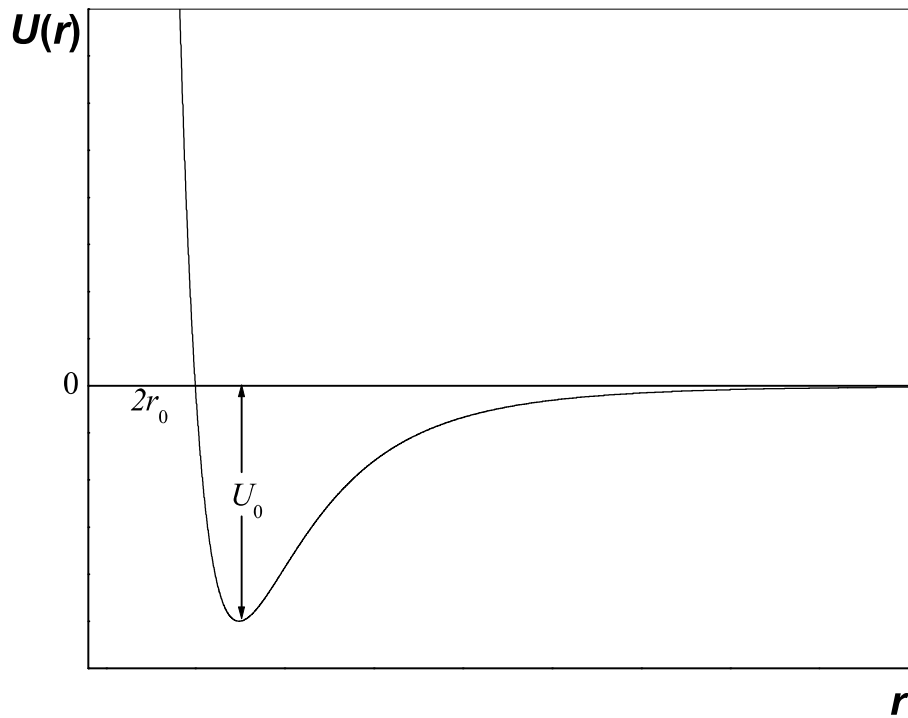
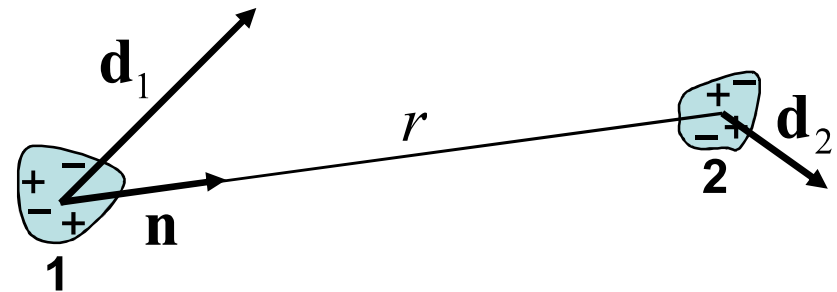
Оператор  
взаимодействия двух  
систем зарядов на  
**больших** расстояниях



Рассматривая  
оператор как  
возмущение

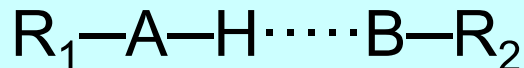
$$U(r) = -\frac{\text{const}}{r^6}$$

Энергия  
взаимодействия



# Водородная связь

Невалентное взаимодействие между группой **AH** одной молекулы и атомом **B** другой, в результате которого образуется устойчивый комплекс.

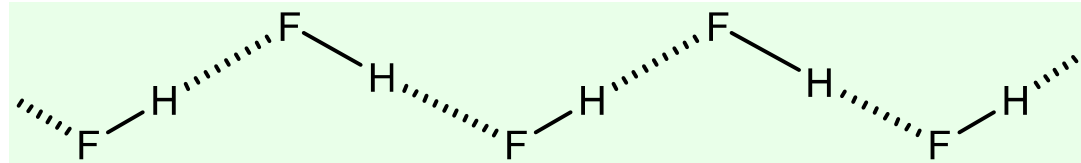
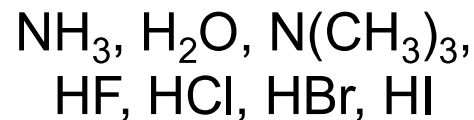


**A и B - электроотрицательные атомы в электроноизбыточных соединениях:**

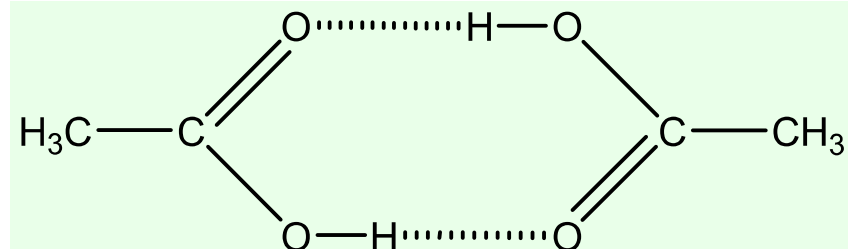
N, O, F  
Cl, S

главным образом  
реже

**Примеры**  
**электроноизбыточных соединений водорода:**

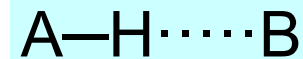


Структура  
полимера  
 $(\text{HF})_n$



Строение димера  
уксусной кислоты

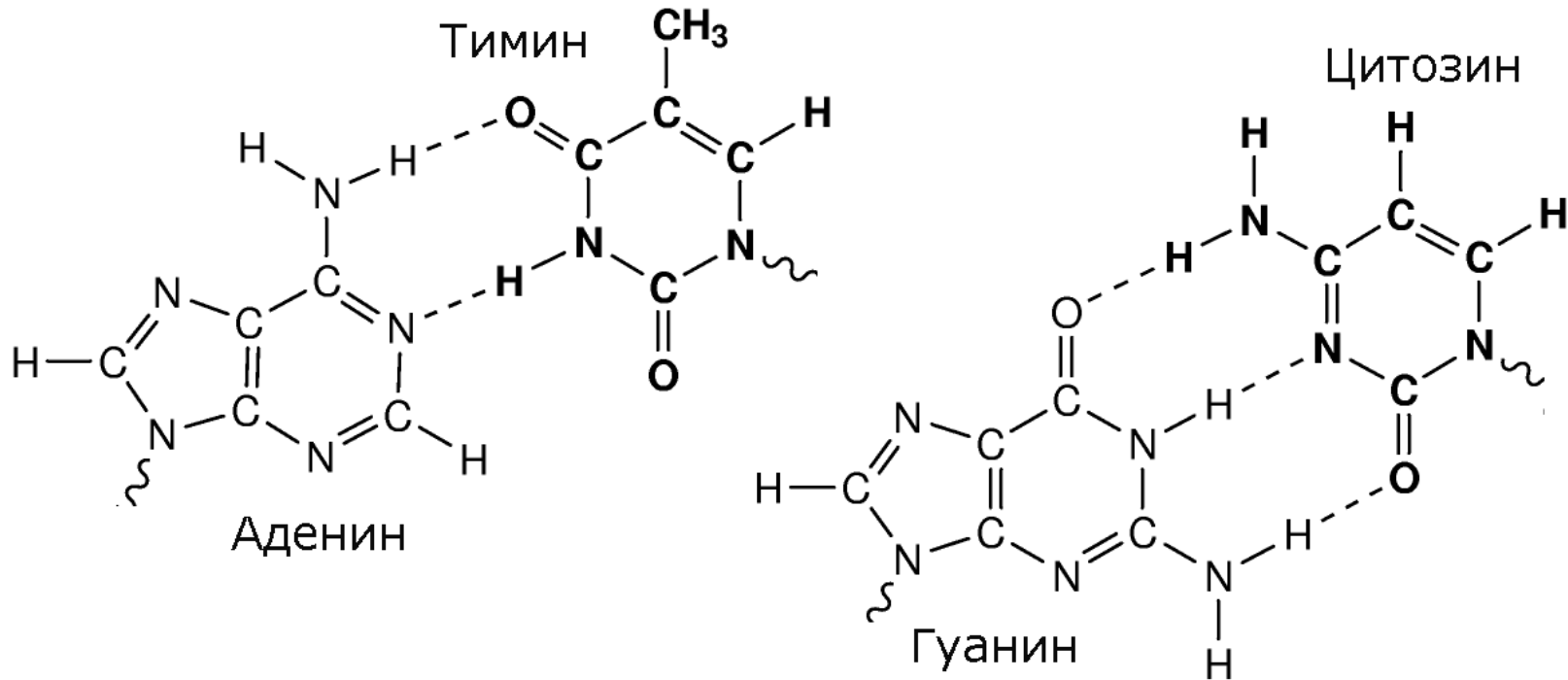
# Свойства водородной связи



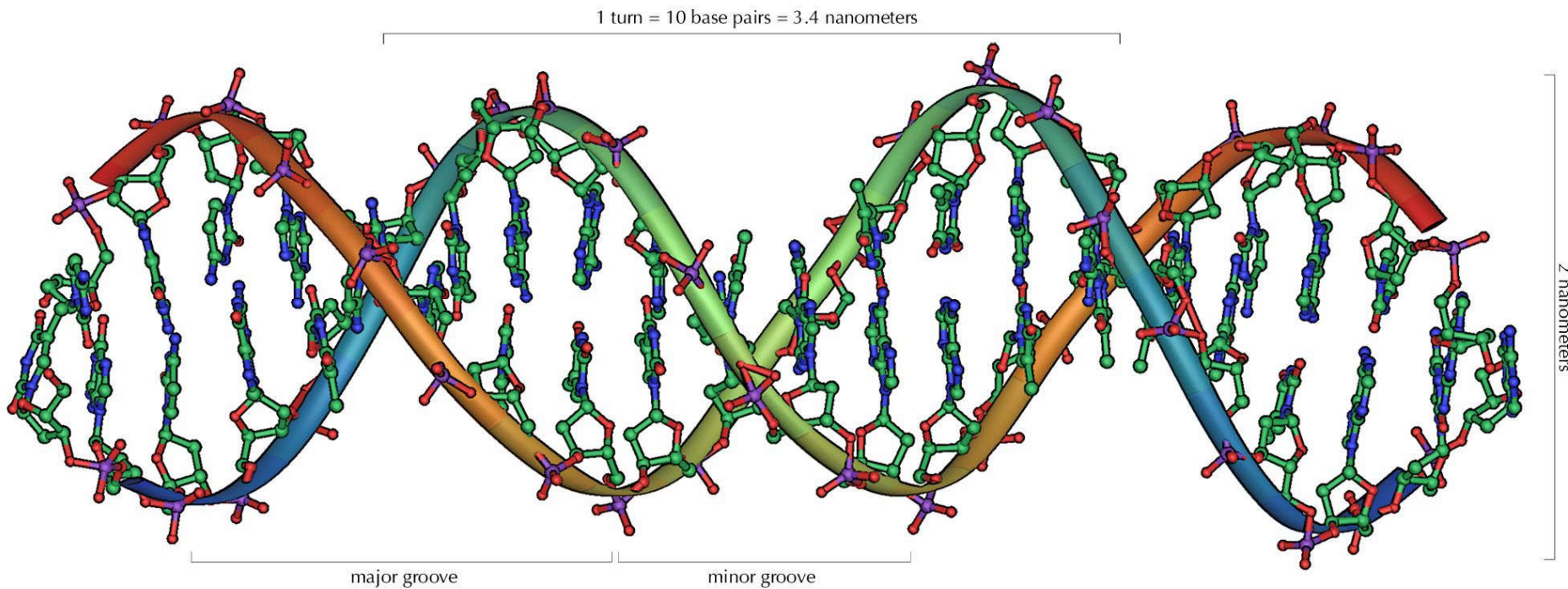
Связь	Энергия связи, кДж/моль		Длина связи A—B или A—H, Å	
	водородная	ковалентная	водородная	ковалентная
F—H···F—H	29	565	2.55	1.13
[F···H···F] <sup>-</sup>	165	-	2.26	
[HO—H···Cl] <sup>-</sup>	55	428		
HO—H···OH <sub>2</sub>	22	464	2.76	0.97
HS—H···SH <sub>2</sub>	7	363		
H <sub>2</sub> N—H···NH <sub>3</sub>	17	386		

$2.26 < 2 \times 1.35 \leftarrow$  вандерваальсов радиус F

# Водородная связь в ДНК - 1



# Водородная связь в ДНК - 2

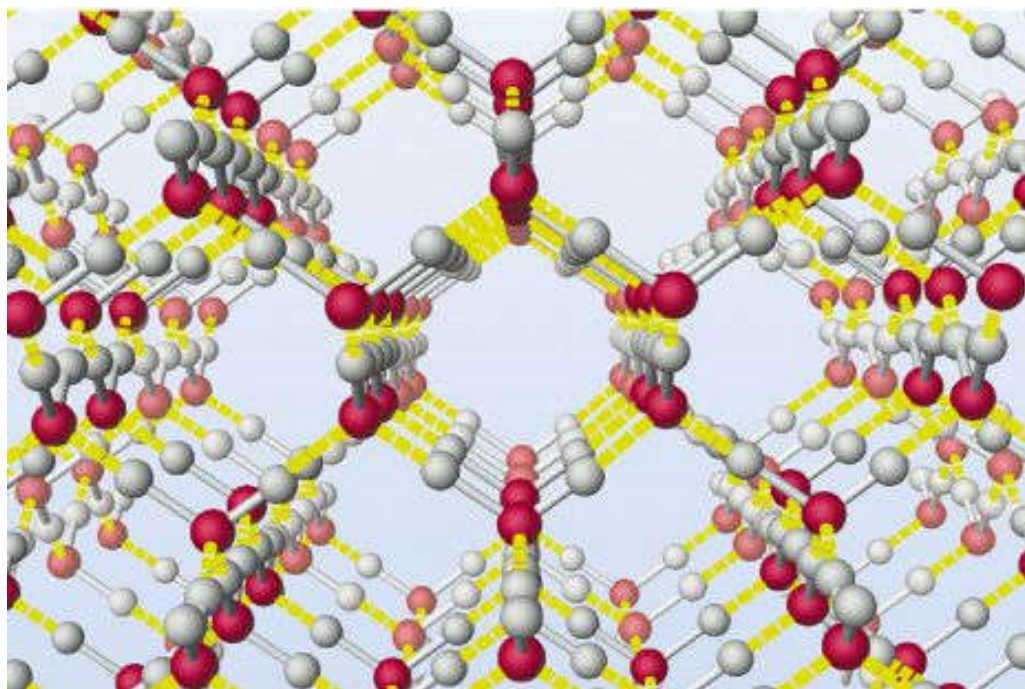
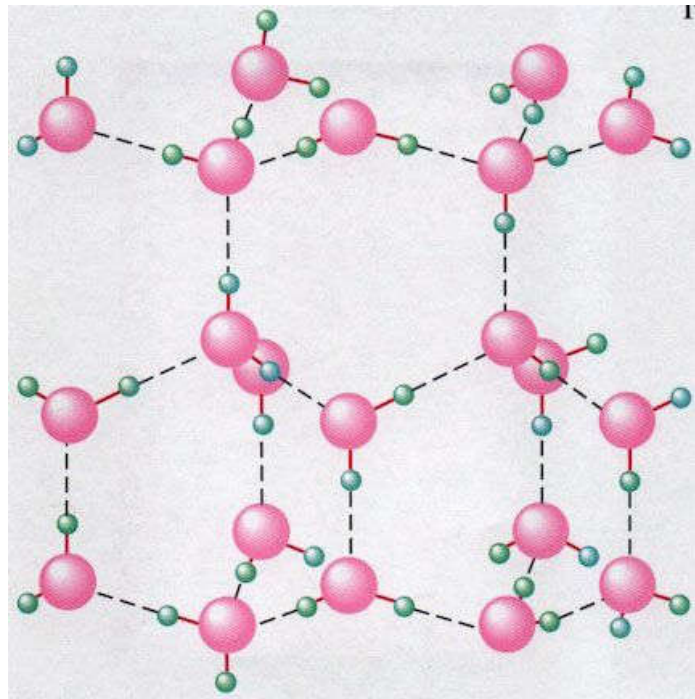


# Водородная связь в воде

*chlathratus* (лат.)-  
защищенный решеткой

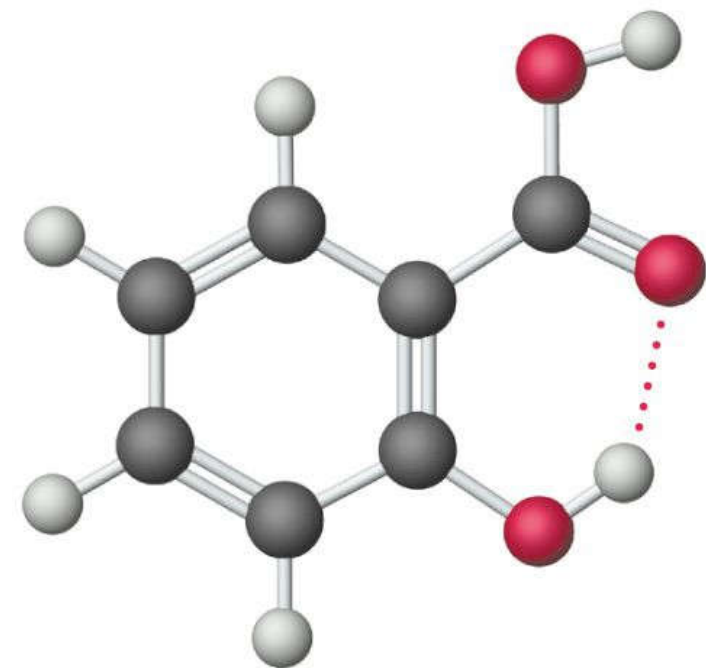
Каркасная структура льда с тетраэдрическим окружением атомов кислорода.

Клатраты (или соединения включения) образованы молекулами-«гостями» и молекулами-«хозяевами».

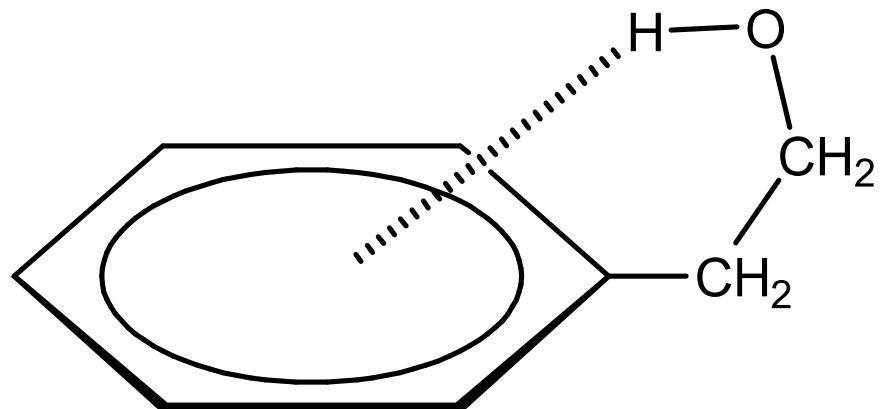
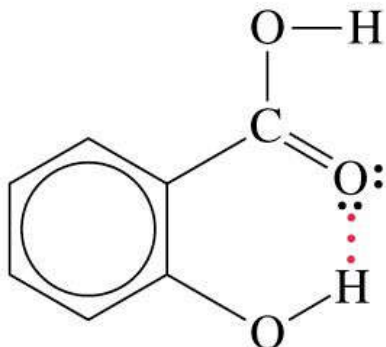


Клатрат  $\text{Cl}_2 \cdot 6\text{H}_2\text{O}$

# Внутримолекулярная водородная связь

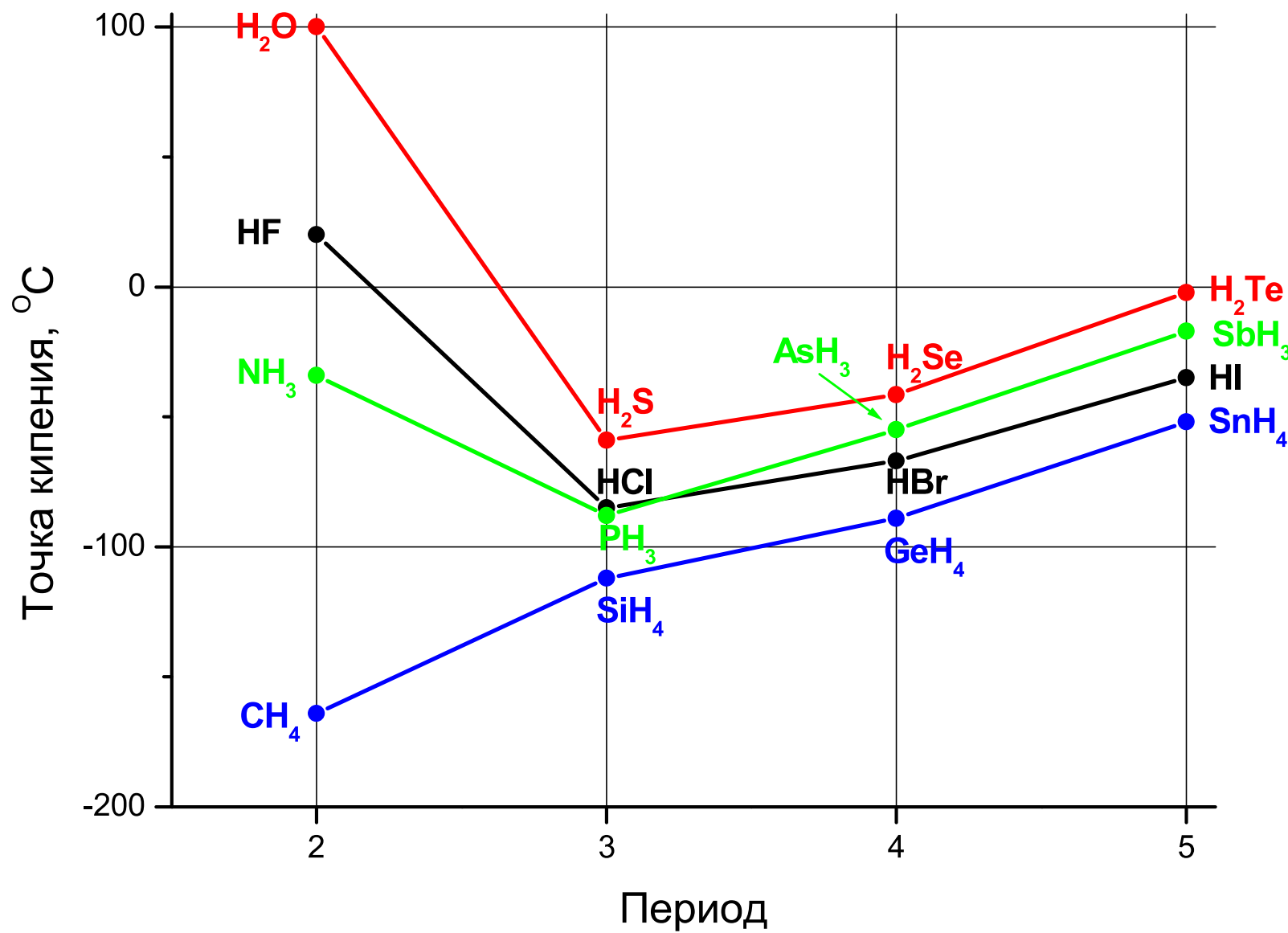


Салициловая кислота

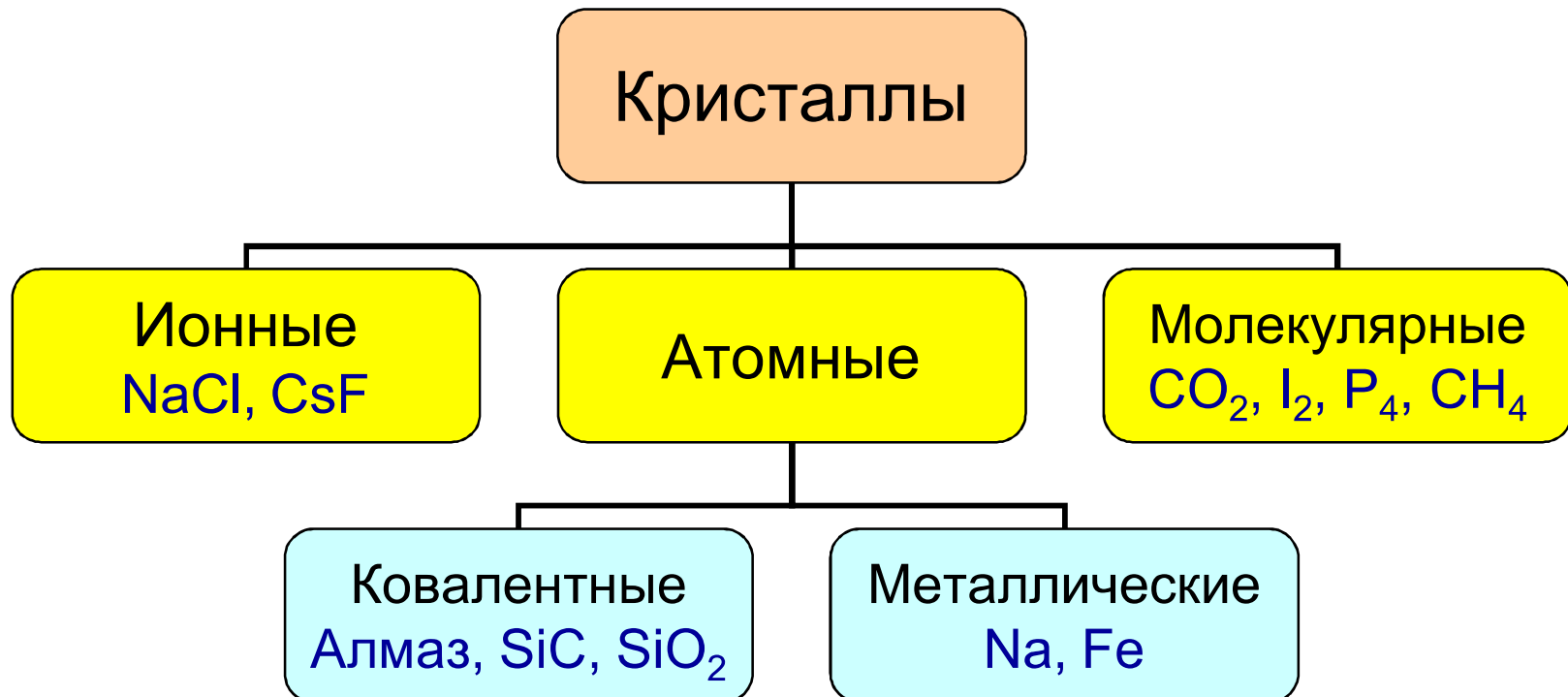


$\beta$ -Фенилэтиловый спирт  
(2-фенилэтанол)

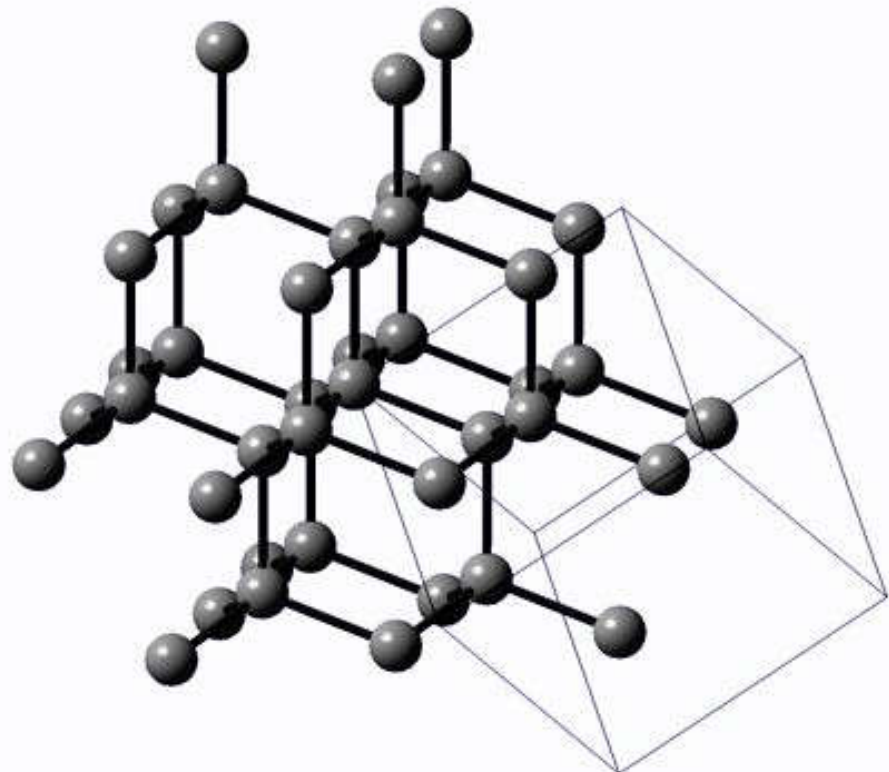
# Влияние водородной связи на точку кипения



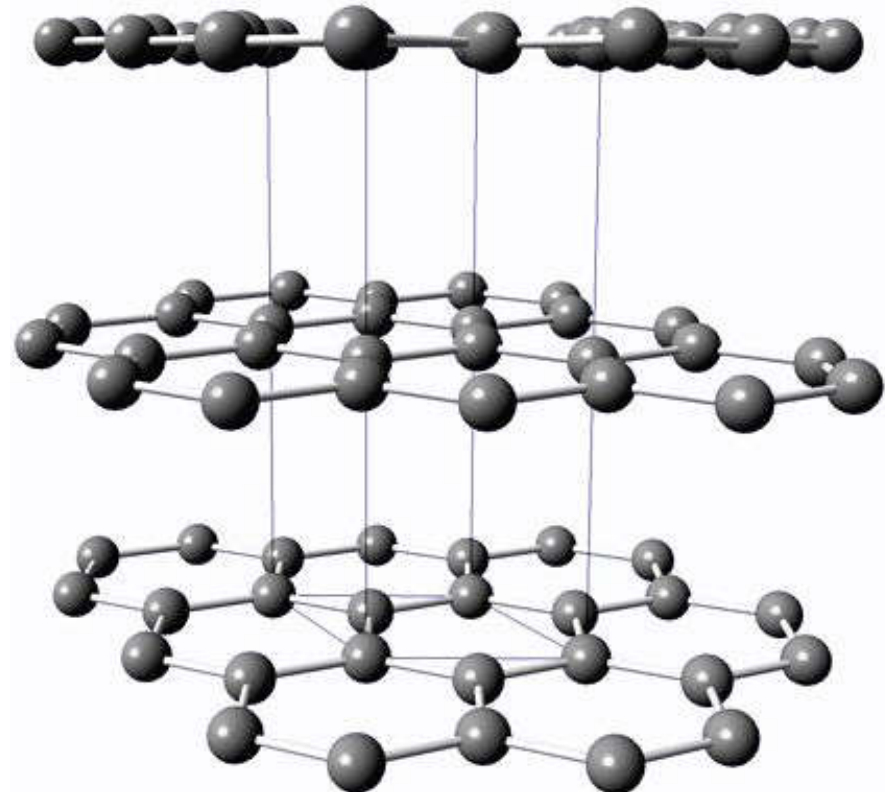
# Классификация кристаллических веществ (по характеру связи между структурными фрагментами)



# Аллотропные модификации углерода

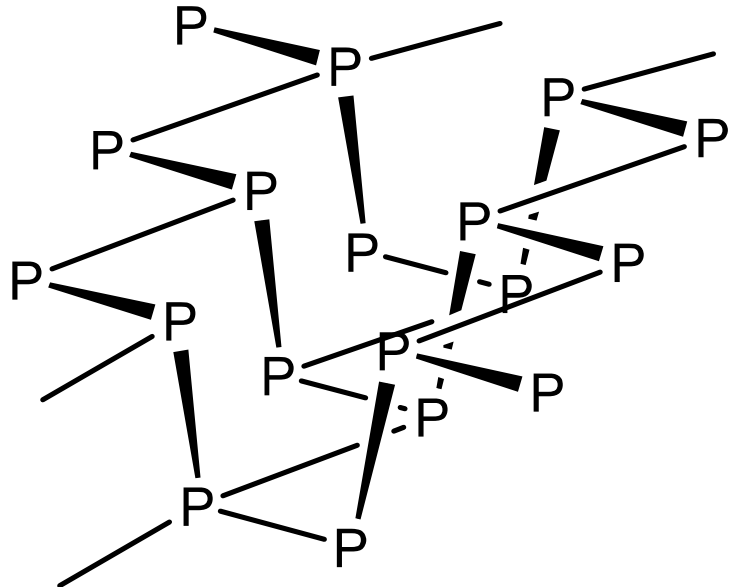


Алмаз

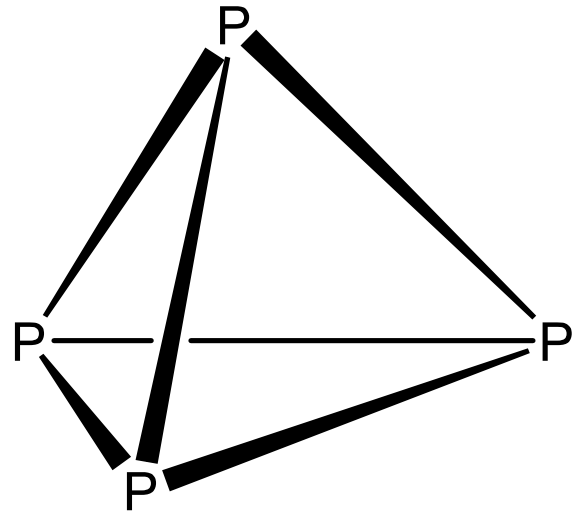


Графит

# Аллотропные формы фосфора

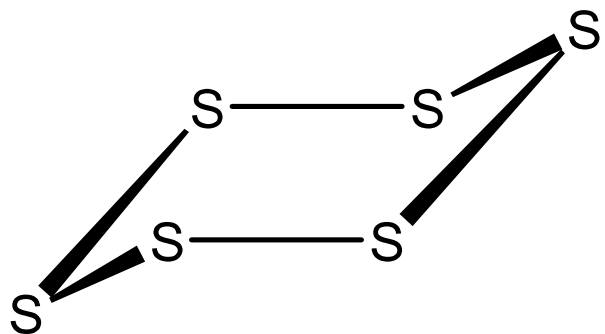


Черный фосфор

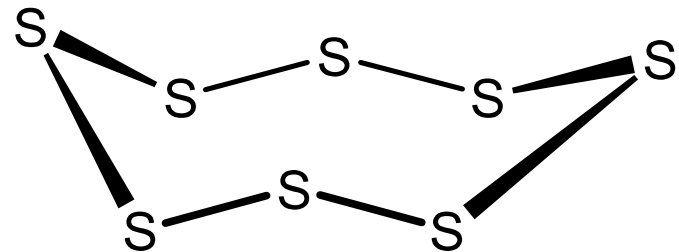
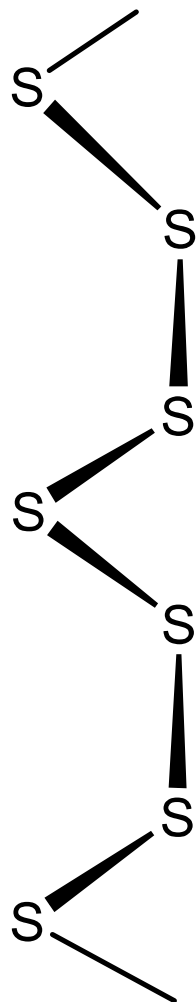


Белый фосфор  
 $P_4$

# Аллотропные формы серы



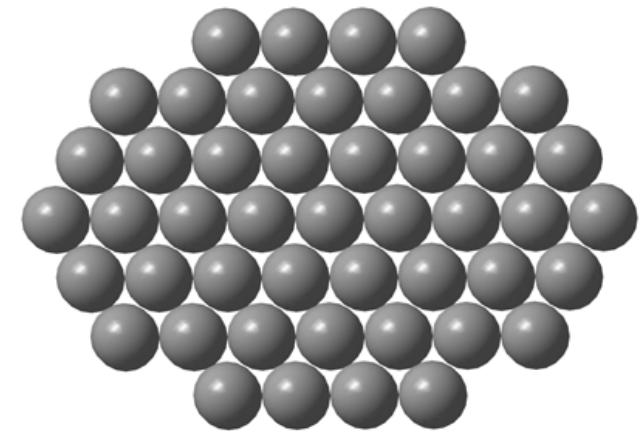
Шестичленный цикл  
«кресло»



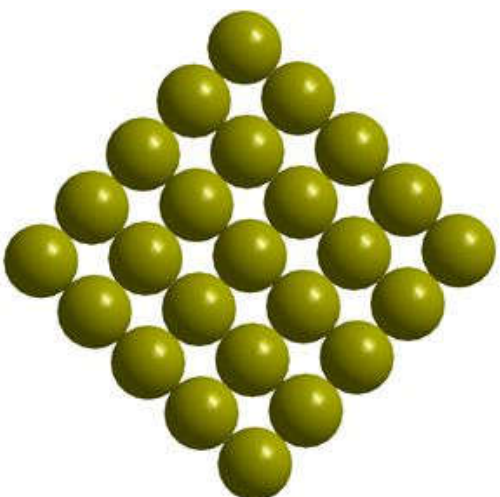
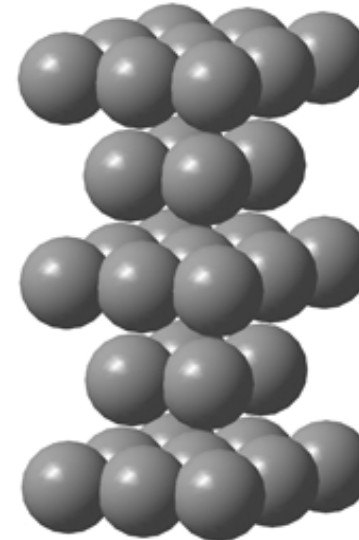
Восьмичленный цикл  
«корона»

Сpirальные полимеры  
 $S_n$

# Упаковки из одинаковых шаров



Плотнейшая  
шаровая  
упаковка  
(ПШУ)

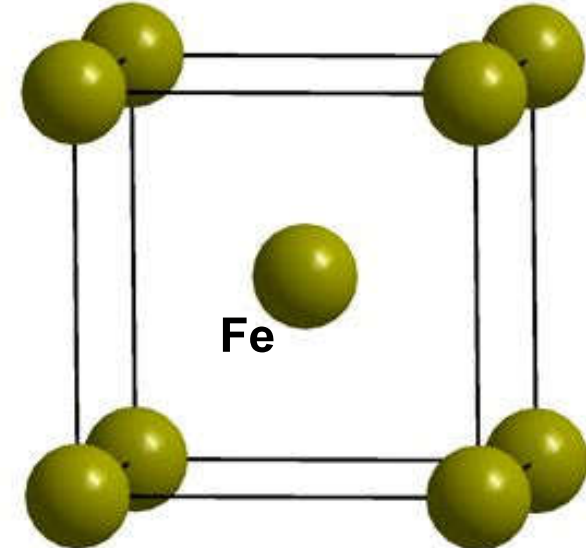


Плотная  
шаровая  
кладка  
(ПШК)

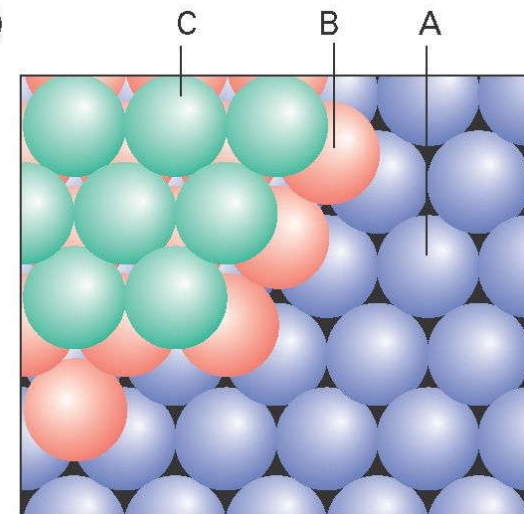
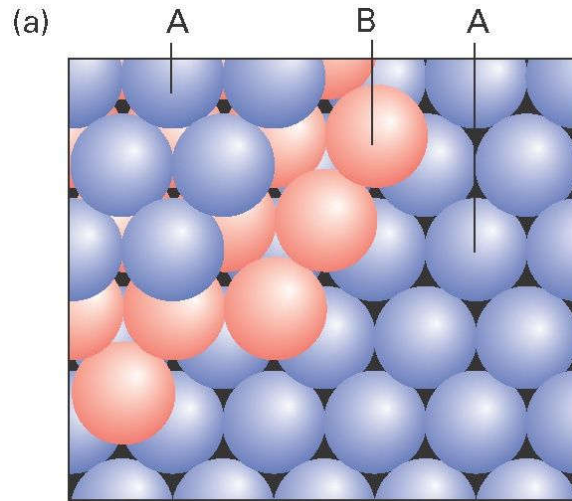
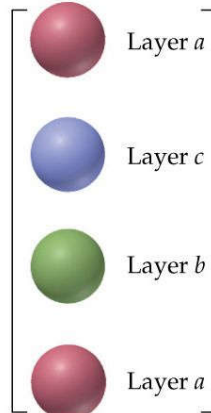
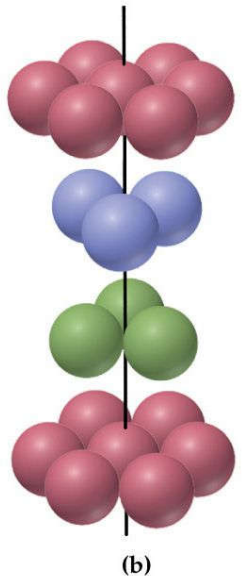
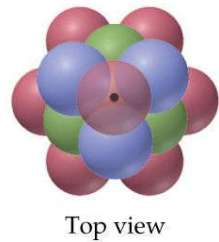
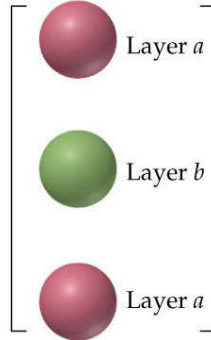
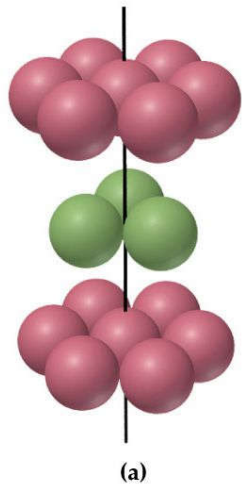
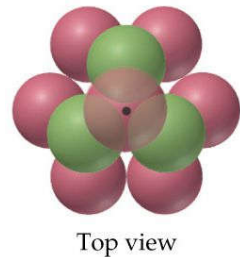


Пример

Объемно-  
центрированная  
кубическая  
(ОЦК)



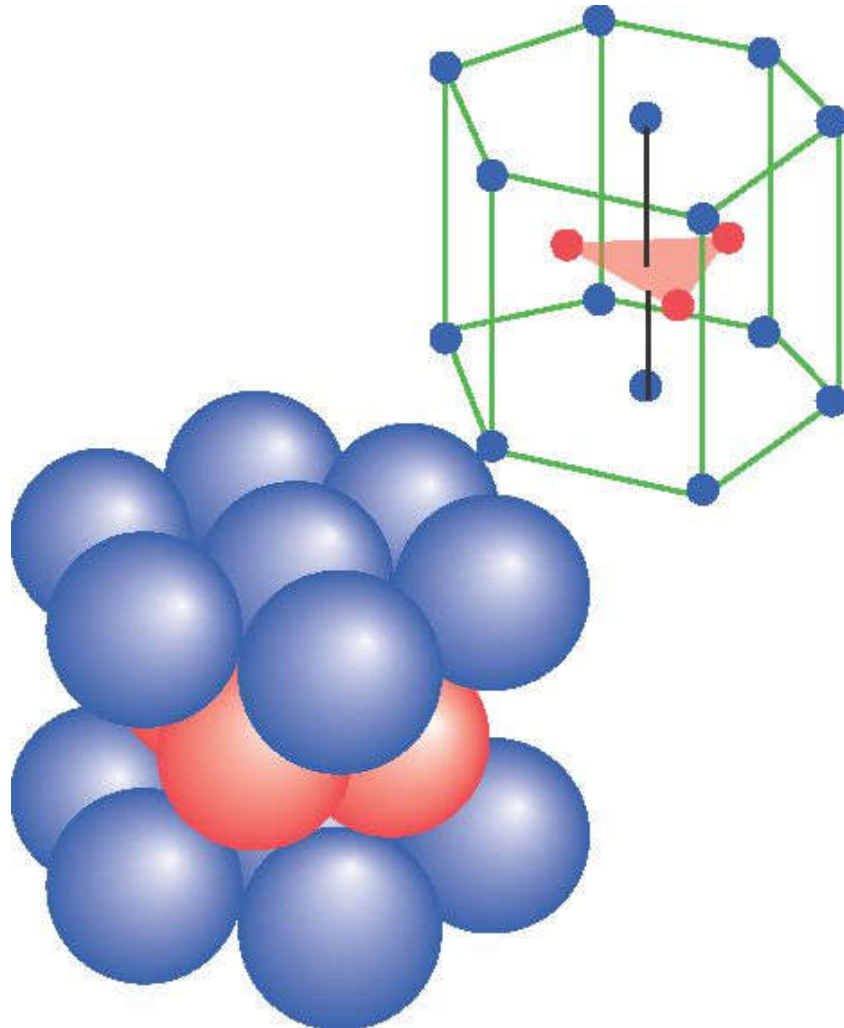
# Плотнейшие шаровые упаковки (КЧ = 12)



# Гексагональная плотнейшая упаковка (ГПУ)

Последовательность слоев:

**A****B****A****B**...

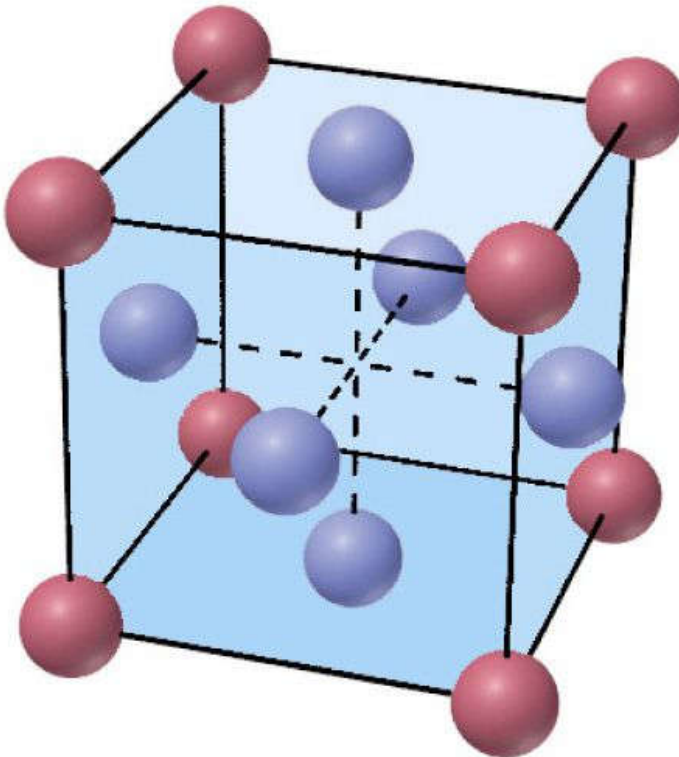
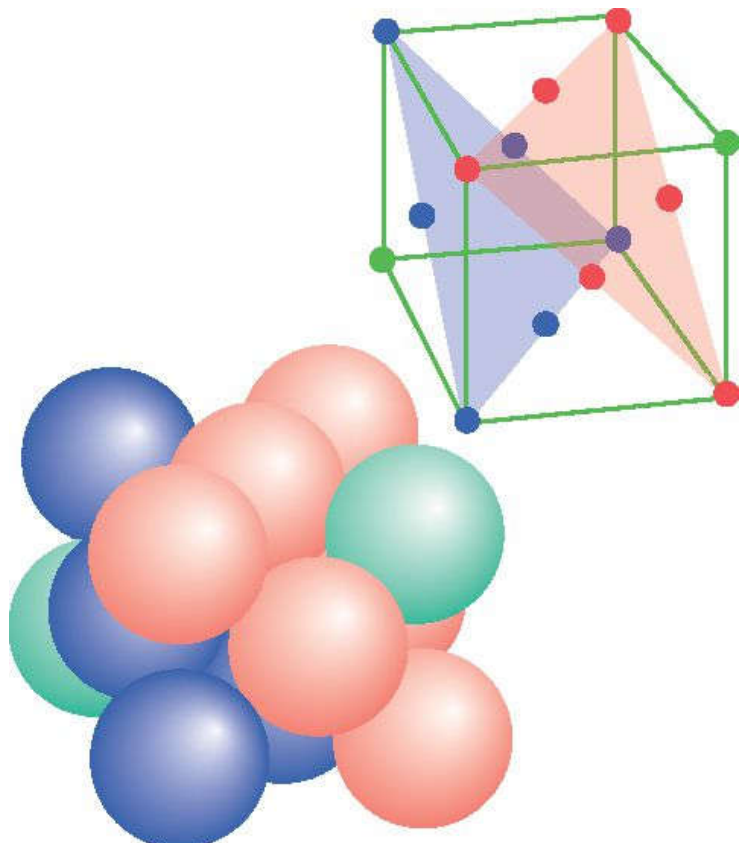


Be, Cd, Co, Mg, Ti, Zn

# Кубическая плотнейшая упаковка (КПУ) или гранецентрированная кубическая (ГЦК)

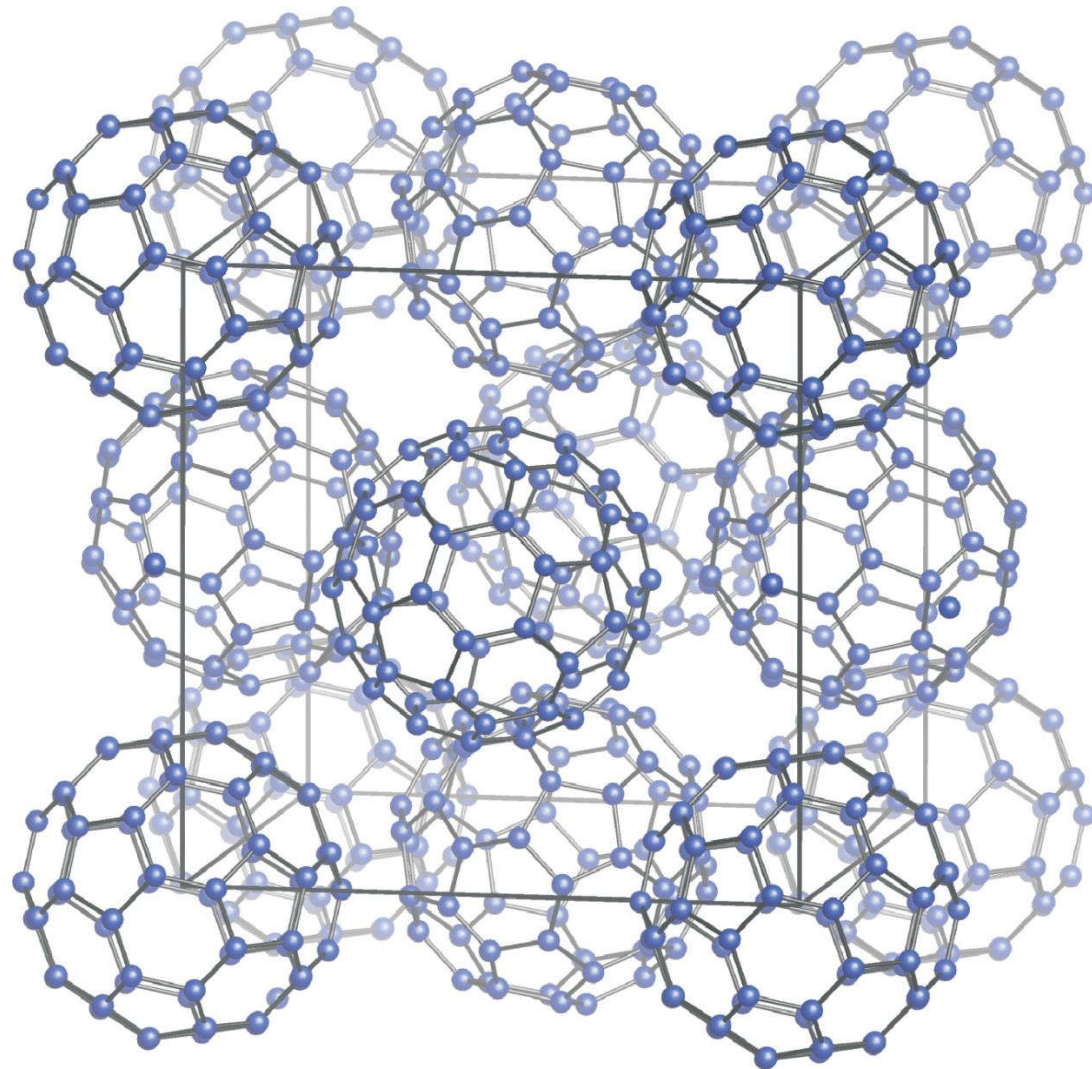
Последовательность слоев:

**A****B****C****A****B****C**...



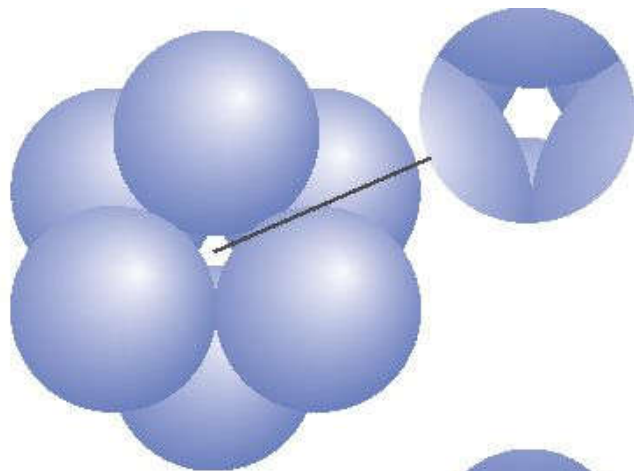
Ag, Al, Au, Ca, Cu, Pb, Pt

# ГЦК-фуллерен

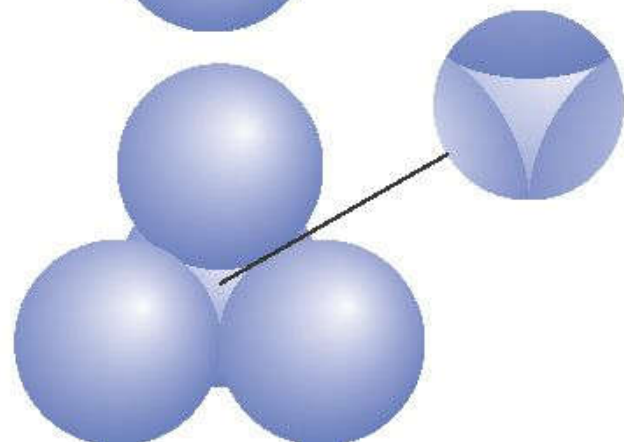


# Пустоты в плотнейших упаковках (26% объема)

(a)



(b)

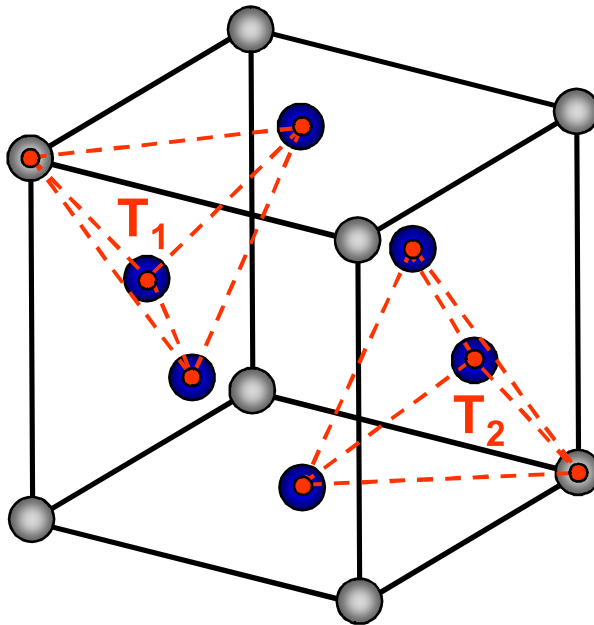


Октаэдрические:  
 $N$  атомов –  $N$  пустот  
 $r_{\text{окт.}} = 0.414r$

Тетраэдрические:  
 $N$  атомов –  $2N$  пустот  
 $r_{\text{тетр.}} = 0.225r$

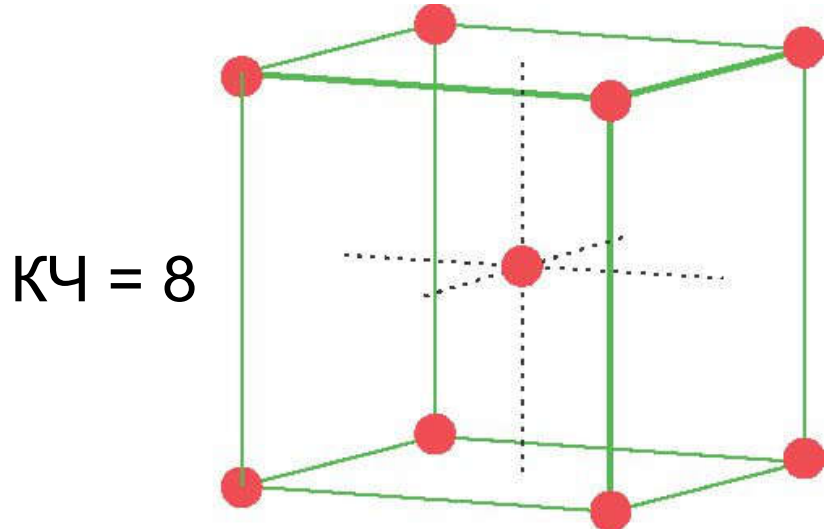
На каждый шар упаковки приходится  
**2** тетраэдрические и **1** октаэдрическая  
пустоты

# Расположение тетраэдрических пустот в ГЦК-ячейке



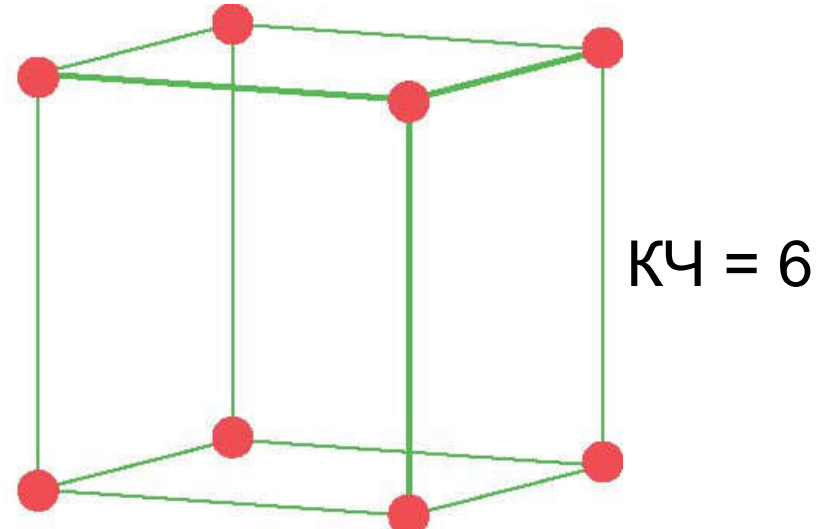
Ячейка содержит **4** структурные единицы  
и **8** тетраэдрических пустот

# Упаковки металлов, не являющиеся плотнейшими



Объемноцентрированная  
кубическая (ОЦК), 32% объема

Ba, Cr, W,  $\alpha$ -Fe,  
щелочные металлы



Примитивная кубическая

Ро

# Полиморфизм металлов

- Полиморфизм твердых веществ - способность существовать в двух или нескольких кристаллических формах (полиморфных модификациях) при одном и том же химическом составе.
- Политипия - частный случай полиморфизма. Политипные модификации представляют собой варианты наложения одинаковых двухмерных структур; при этом два параметра решетки неизменны, а третий меняется, оставаясь кратным постоянной величине.

## Железо

$\alpha$ -Fe: ОЦК,  $t < 906 \text{ } ^\circ\text{C}$ ,  $t > 1401 \text{ } ^\circ\text{C}$

$\gamma$ -Fe: ГЦК,  $906 \text{ } ^\circ\text{C} < t < 1401 \text{ } ^\circ\text{C}$

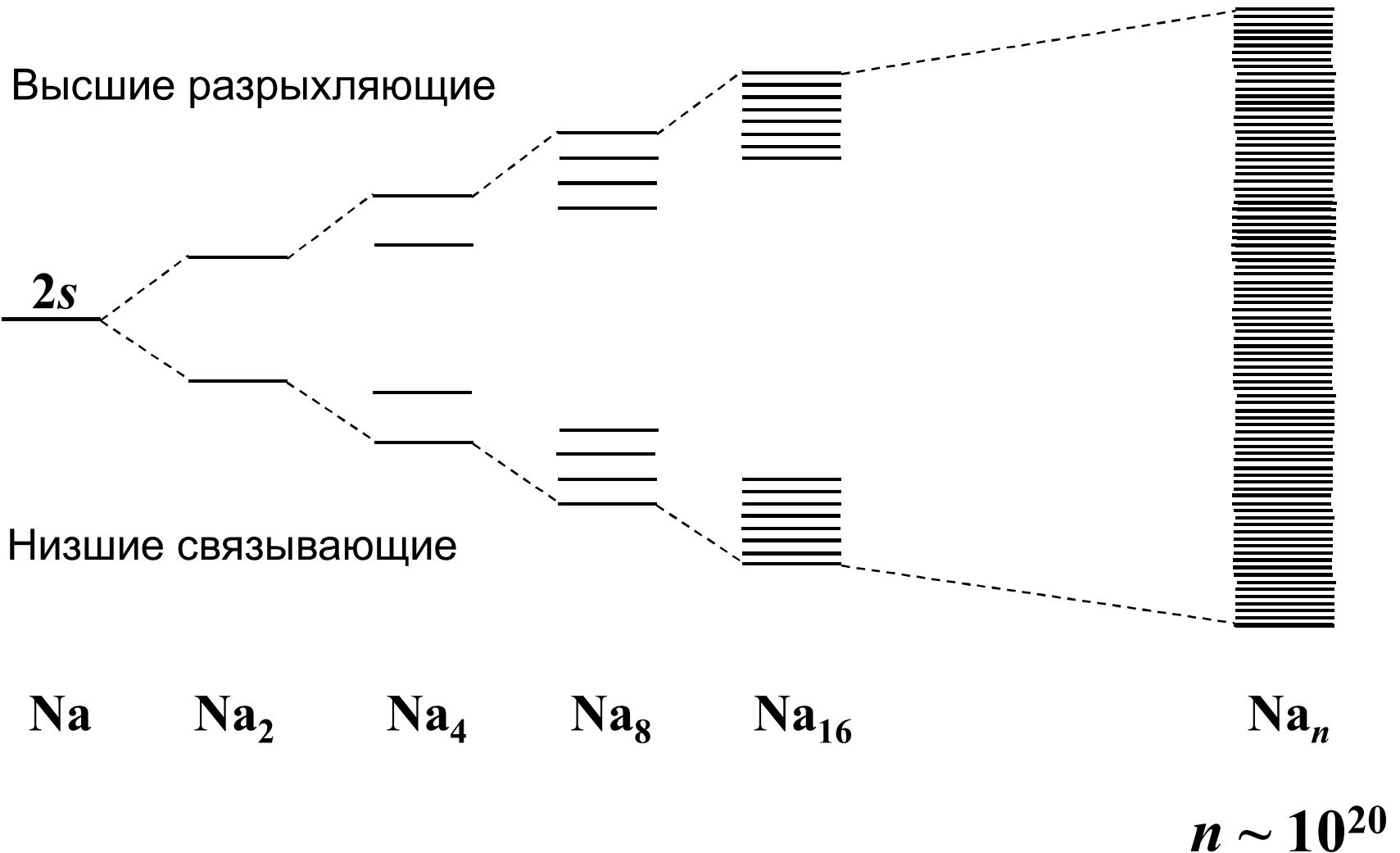
$\beta$ -Fe: ГПУ высокое давление

## Олово

$\beta$ -Sn:  $t > 14 \text{ } ^\circ\text{C}$   $\rho = 7.31 \text{ г/см}^3$

$\alpha$ -Sn:  $t < 14 \text{ } ^\circ\text{C}$   $\rho = 5.75 \text{ г/см}^3$

# Как формируются энергетические зоны



# Энергетические зоны в кристаллах

